

О ТУРБУЛЕНТНОМ ПОГРАНИЧНОМ СЛОЕ НА ПОВЕРХНОСТИ ЗАТУПЛЕННЫХ КОНУСОВ

В. А. КАРПОВ (Москва)

Приведены результаты теоретических и экспериментальных исследований тепловых потоков на боковой поверхности затупленных конусов в условиях вихревого взаимодействия турбулентного пограничного слоя с высокоэнтропийным. Рассмотрен вопрос о подобии распределения тепловых потоков.

Обозначения

r_0, r — радиус затупления и радиус поперечного сечения конуса; xr_0, x_0r_0 — координата вдоль образующей и длина конуса; Xr_0 — эффективная длина пластины; $\theta r_0, \vartheta r_0$ — толщина потери энергии и импульса; β — угол полурасстояния конуса; V, M — скорость, число Маха невозмущенного потока; $P_{\infty}V^2, \rho_{\infty}, \mu_{\infty}$ — давление, плотность, вязкость; σ, γ — число Прандтля, показатель изэнтропии; $uV, \psi_{r_0}V$ — скорость газа, функция тока; HV^2, hV^2 — полная и статическая энталпия; HeV^2 — энталпия восстановления; h^* — определяющая энталпия по Эккерту; $S, q = S_{\infty}V^3$ — число Стантона и тепловой поток; η — отношение тепловых потоков на затупленном и остром конусах в одинаковых поперечных сечениях, ξ — отношение тепловых потоков, рассчитанных с учетом и без учета завихренности.

Индексы $+$, $-$, ∞ , k относятся к величинам на поверхности тела при вязком и невязком потоках, в невозмущенном потоке и точке торможения потока соответственно.

1. При гиперзвуковом обтекании затупленных конусов в случае малой величины затупления, когда пограничный слой выходит за пределы высокоэнтропийного, существенное влияние на теплообмен оказывает вихревое взаимодействие. При этом, вследствие неоднородности внешнего потока схема пограничного слоя с асимптотическими граничными условиями становится непригодной. Имеется точное численное решение этой задачи для ламинарного пограничного слоя [1]. В этой работе внешняя граница пограничного слоя определялась из условия гладкого сопряжения завихренного внешнего потока с решением пограничного слоя. В работах [2, 3] с целью учета завихренности при турбулентном пограничном слое параметры на его внешней границе рассчитывались при помощи соотношения, связывающего расход через ударную волну известной формы с расходом через пограничный слой. Расход Q и тепловой поток q определялись при этом по методикам, разработанным и проверенным экспериментально для потенциальных внешних течений.

В работе [4] на примере ламинарного пограничного слоя показано, что такой способ учета завихренности приводит к существенному (почти в два раза) увеличению ее влияния на величину тепловых потоков и трения.

В этой же работе предложен инженерный метод расчета теплопередачи и трения через пограничный слой при неоднородном (в частности, вихревом) внешнем потоке, позволяющий более точно учесть влияние завихренности.

Суть метода состоит в замене неоднородного невязкого потока равноценным по расходу, количеству движения и энергии однородным с эффективными параметрами и использовании для расчета характеристик пограничного слоя классических методов (метод локального подобия, метод интегральных соотношений и т. д.). Для тонких затупленных конусов в качестве эффективных следует брать среднемассовые скорость u_0 и энталпию h_0 [4]

$$h_0 = h_- G_0(\psi), \quad u_0 = \sqrt{2(H_{\infty} - h_0)}, \quad G_0 = \frac{1}{\psi} \int_0^{\psi} G(\psi) d\psi, \quad G(\psi) = \frac{h}{h_-} \quad (1.1)$$

Для совершенного газа $G(\psi)$ не зависит от давления, а для реального газа этой зависимости можно пренебречь [4]. Ниже этот метод обобщен на случай турбулентного пограничного слоя. Для учета осесимметричности и градиента давления использован метод интегральных соотношений [2].

В соответствии с [2] тепловой поток на поверхности конуса выражается следующей формулой ¹

$$q = S_{\infty}V^3 = 0.0296 \rho^* u_0 R^{*-0.2} \sigma^{-0.6} \left(\frac{\theta}{\vartheta} \right)^{0.1} (H_e - h_+) \quad (1.2)$$

¹ При $X = x, \theta = \vartheta$ формула (1.2) превращается в известную формулу для пластины [5].

Здесь и в дальнейшем

$$R^* = \frac{\rho^* u_0 X}{\mu^*} R_\infty, \quad R_\infty = \frac{\rho_\infty V r_0}{\mu_\infty} \quad (1.3)$$

$$\rho^* = \rho(h^*, p), \quad \mu^* = \mu(h^*, p)$$

$$h^* = 0.5(h_+ + h_0) + 0.22(H_e - h_0), \quad H_e = 0.89H_\infty + 0.11h_0$$

$$\left[\frac{\theta}{\vartheta} \right]^{\eta_s} = \frac{0.0181 R_\infty}{r^{\eta_s} \mu^{\eta_s} R_v^{\eta_s}} \int_0^x r^{\eta_s} \rho^* u_0 \mu^{*1/4} R^* \vartheta^{-1/4} \left(\frac{H_e - h_+}{H_\infty - h_+} \right)^{\eta_s} dx$$

$$R_v^{\eta_s/4} = \frac{0.0161 R_\infty \sqrt{H_\infty} [2 - u_0^2 / H_\infty]^{\eta_s \lambda}}{r^{\eta_s} \mu^{\eta_s/4} [u_0^2 / H_\infty]^{\eta_s \lambda}} \int_0^\infty \rho^* \mu^{*1/4} r^{\eta_s/4} \left[2 - \frac{u_0^2}{H_\infty} \right]^{-\eta_s \lambda} \left[\frac{u_0^2}{H_\infty} \right]^{\eta_s \lambda + 1/2} dx$$

При этом с формулой (1.2) связаны следующие обозначения и соотношения

$$\lambda = \left[\frac{9}{7} \frac{h_+}{H_\infty} + 1 \right] + \frac{9}{7} \left[1 - \left(\frac{\theta}{\vartheta} \right)^{\eta_s} \right] \left[1 - \frac{h_+}{H_\infty} \right]$$

$$X = \frac{1}{F} \int_0^x F dx, \quad F = r^{\eta_s} \rho^* u_0 \mu^{*1/4} (H_e - h_+)^{\eta_s} \left[\frac{\theta}{\vartheta} \right]^{\eta_s}$$

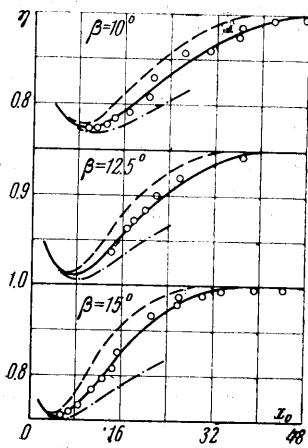
В данной задаче принималось $H_\infty = \text{const}$, $h_+ = \text{const}$, $\sigma = 0.72$, турбулентный пограничный слой развивался от критической точки, в которой $\theta = \vartheta = 0$. Для расчета параметров на внешней границе пограничного слоя, кроме давления $p_- = p_-(x)$, энталпии $h_- = h_-(x)$, функции $G(\psi) = h/h_-$, необходимо иметь соотношение для функции тока ψ , которое согласно [2] имеет вид

$$\psi = 18 \left[0.0202 R_\infty^{-1/4} \int_0^x r^{\eta_s} \rho^* u_0 \mu^{*1/4} \left(\frac{\theta}{\vartheta} \right)^{\eta_s} \left(\frac{H_e - h_+}{H_\infty - h_+} \right)^{\eta_s} dx \right]^{1/5}$$

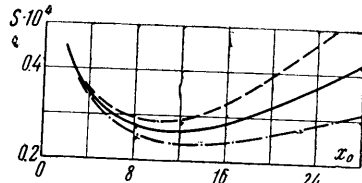
Исходные величины $p_- = p_-(x)$, $h_- = h_-(x)$, $G(\psi)$ брались на основе расчетов обтекания конусов невязким потоком [6, 7]. Функция $G(\psi)$ аппроксимировалась полиномом пятой степени. При расчете тепловых потоков по методу [2, 3] принималось $h/h_- = G(\psi)$, по методу среднемассовых величин — $h/h_- = G_0(\psi)$, без учета завихренности — $h/h_- = 1$.

Уравнение состояния использовалось в виде

$$\rho = \frac{p}{h} \frac{\gamma}{\gamma - 1} z(h, p)$$



Фиг. 1



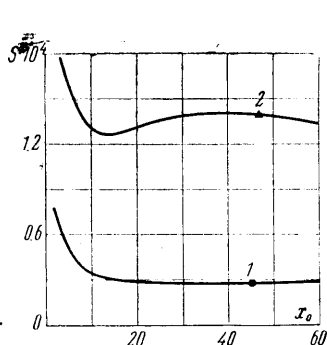
Фиг. 2

Задача решалась методом итераций. В точке $x_i = \Delta x$ (Δx — шаг интегрирования) принималось в первом приближении $\psi = 0$, $h/h_- = 1$.

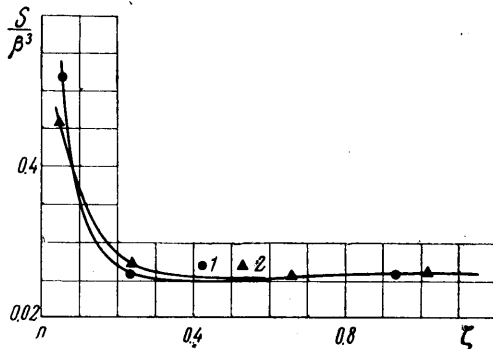
На фиг. 1 представлены результаты расчетов тепловых потоков на поверхности затупленных по сфере конусов с углами полураствора $\beta = 10^\circ, 12.5^\circ, 15^\circ$ в условиях обтекания потоком $M_\infty = 6$, $R_\infty = 5 \cdot 10^5$, $\gamma = 1.4$, $h_+ = 0.6$.

Сплошными линиями показан расчет по методу среднемассовых величин, пунктирными — по методу [2, 3], штрих-пунктирными — без учета завихренности. Там же

точками нанесены результаты тепловых испытаний моделей, проведенных в условиях полностью соответствующих расчетным. Для исключения систематических ошибок эксперимента данные обрабатывались в виде отношения η тепловых потоков на затупленном и остром конусах в одинаковых поперечных сечениях. Измерения $q = S \rho_\infty V^3$ проводились на одной и той же модели (модель со сменными носками) и в одной серии испытаний.



Фиг. 3



Фиг. 4

На фиг. 2 приведено распределение тепловых потоков на затупленном по сфере конусе с $\beta = 10^\circ$ при обтекании равновесно-диссоциирующим потоком воздуха с параметрами: $V = 7500$ м/сек, $\rho_\infty V^2 P_\infty = 1.2 \cdot 10^{-2}$ атм, $\rho_\infty = 1.8 \cdot 10^{-3}$ кг·сек²/м⁴, $R_\infty = 3 \cdot 10^7$, $h_+ = 0.02$. Здесь сплошной линией показан расчет по методу среднемассовых величин, пунктирной — по методу [2], штрих-пунктирной — без учета завихренности. Влияние завихренности, а также различие в результатах расчета S по методу [2] и методу среднемассовых величин здесь более существенно, чем для условий экспериментов (фиг. 1) и составляет $\sim 30\%$.

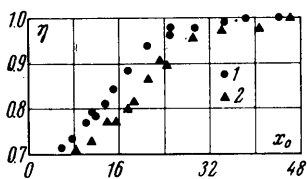
2. В работе [3] изложена теория подобия для тепловых потоков к боковой поверхности затупленных конусов, учитывающая завихренность внешнего течения. Согласно этой теории, в подобных случаях будут одинаковыми функции

$$S / \beta^3 = f_1(\zeta), \quad P / \beta^2 = f_2(\zeta) \quad (\zeta = \sqrt{2} / c_x x_0 \beta^2)$$

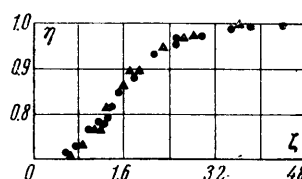
если выполняется равенство критериев

$$\beta M_\infty, \kappa = p_k / \rho_k, \gamma, h_+(x), \Omega = [\mu_k / R_\infty]^{0.2} c_x^{-0.1} \beta^{-1}$$

Независимо от формы носка [9] равенство параметров $\beta M_\infty, \kappa, \gamma$ обеспечивает подобие невязких потоков, равенство $h_+(x), \Omega$ — граничных слоев.



Фиг. 5



Фиг. 6

На фиг. 3 приведены результаты расчетов $S = S(x_0)$ по методике, описанной в п.1, для двух подобных случаев, в которых были различными все параметры, входящие в критерий подобия кроме C_x . Кривые 1—2 соответствуют следующим условиям обтекания:

$$\begin{aligned} M_\infty &= 10, \quad \beta = 6^\circ, \quad R_\infty = 1.2 \cdot 10^8, \quad \gamma = 1.4, \quad h_+ = 0.5 \\ M_\infty &= 6, \quad \beta = 10^\circ, \quad R_\infty = 3.7 \cdot 10^6, \quad \gamma = 1.4, \quad h_+ = 0.5 \end{aligned}$$

На фиг. 4 эти же данные представлены в координатах подобия

$$S / \beta^3 = f_1(\zeta)$$

На фиг. 5, 6 показаны результаты экспериментов, где в подобных случаях отличались лишь величины C_x , а остальные параметры, определяющие критерии подобия, были одинаковыми ($M_\infty = 6, \beta = 15^\circ, R_\infty = 5 \cdot 10^6$). Здесь кривая 1 соответ-

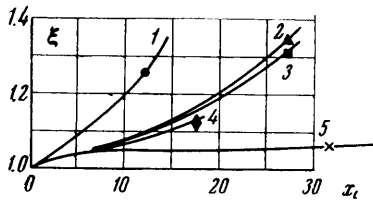
ствует конусу со сферическим затуплением ($C_x = 0.9$), кривая 2 — с затуплением в форме плоского торца ($C_x = 1.65$).

Данные расчетов и экспериментов подтверждают справедливость теории подобия [8].

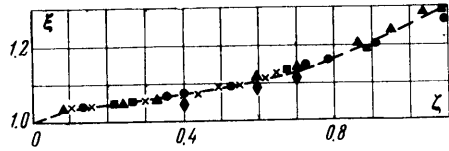
На фиг. 7 результаты расчетов для различных условий обтекания даны в виде отношения тепловых потоков ξ , определенных с учетом и без учета завихренности. Кривые 1—5 соответствуют условиям обтекания ($P_\infty = 1.2 \cdot 10^{-2}$ атм, $\rho_\infty = 1.8 \cdot 10^{-3}$ кг·сек²/м⁴ — всюду)

$V = 4000$ м/сек,	$\beta = 15^\circ$,	$R_\infty = 5 \cdot 10^5$,	$h_+ = 0.03$
$V = 7500$ м/сек,	$\beta = 10^\circ$,	$R_\infty = 3 \cdot 10^7$,	$h_+ = 0.02$
$V = 6000$ м/сек,	$\beta = 10^\circ$,	$R_\infty = 5 \cdot 10^6$,	$h_+ = 0.03$
$V = 3000$ м/сек,	$\beta = 10^\circ$,	$R_\infty = 4 \cdot 10^5$,	$h_+ = 0.03$
$V = 6000$ м/сек,	$\beta = 5^\circ$,	$R_\infty = 2 \cdot 10^7$,	$h_+ = 0.03$

Согласно фиг. 7 функция $\xi = \xi(x)$ наиболее сильно зависит от β и менее от R_∞ и V . Зависимость ξ от β исключается, если вместо x взять координату подобия ζ



Фиг. 7



Фиг. 8

(фиг. 8). Для близких значений R_∞ и V функция $\xi = \xi(\zeta)$ может быть использована для оценок эффекта завихренности на конусах с разными углами полурасщепления и формой затупления.

Автор благодарит В. В. Лунева за обсуждение работы и замечания.

Поступило 13 VI 1967

ЛИТЕРАТУРА

- Мурзинов И. Н. Ламинарный пограничный слой на затупленных телах с учетом завихренности внешнего потока. Изв. АН СССР, МЖГ, 1966, № 6.
- Авидуэльский В. С. Метод расчета пространственного турбулентного пограничного слоя в сжимаемом газе. Изв. АН СССР, ОТН. Механика и машиностроение, 1962, № 4.
- Эдкинс Г. Влияние кривизны ударной волны на нагрев конуса со сферическим носком при турбулентном режиме обтекания. Ракетная техника и космонавтика, 1964, № 8.
- Лунев В. В. Метод среднемассовых величин для пограничного слоя во внешнем потоке с поперечной неоднородностью. Изв. АН СССР, МЖГ, 1967, № 1.
- Эккерт Инженерные методы расчета ламинарного и турбулентного теплообмена и трения при обтекании поверхности с постоянным давлением и температурой потоком газа большой энергии. Вопросы ракетной техники, 1957, № 4.
- Лунев В. В., Павлов В. Г., Синченко С. Г. Гиперзвуковое обтекание сферы равновесно диссоциирующим воздухом. Ж. вычисл. матем. и матем. физ., 1966, т. 6, № 1.
- Чушкин П. И., Шулишина Н. П. Таблицы сверхзвукового течения около затупленных конусов. М., ВЦ АН СССР, 1961.
- Лунев В. В. Об условиях подобия для гиперзвукового турбулентного пограничного слоя на тонких телах. Изв. АН СССР, ОТН, Механика и машиностроение, 1962, № 4.
- Лунев В. В. О форме головной ударной волны при гиперзвуковом обтекании тупых тел. Изв. АН СССР, ОТН, Механика и машиностроение, 1964, № 6.